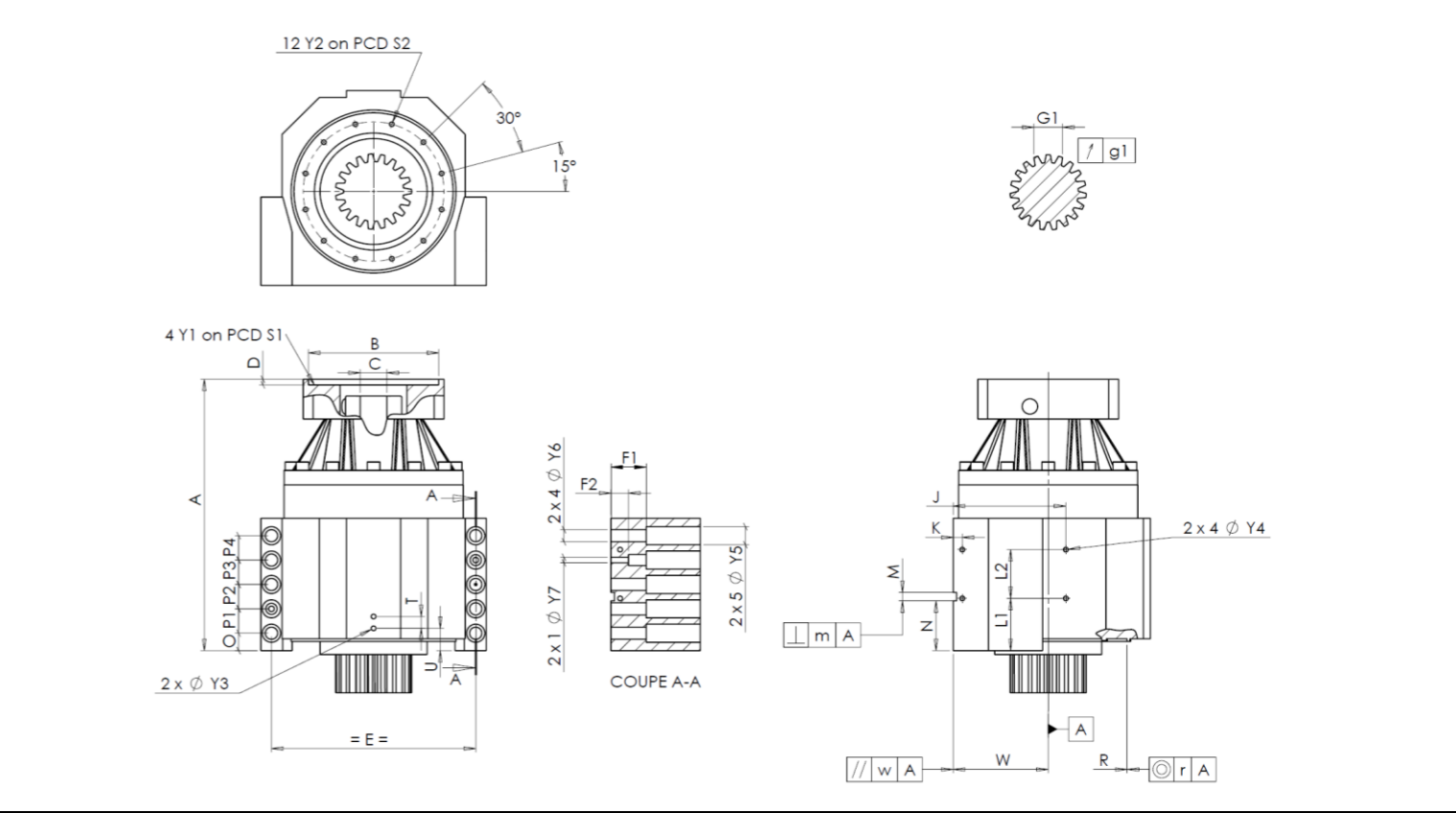


|                |                       |                              |                           |
|----------------|-----------------------|------------------------------|---------------------------|
| KUNDE:         | WALDRICH SIEGEN       | BESTELLNUMMER:               | *38143312 WALDRICH SIEGEN |
| VERTRETER:     | REDEX GmbH            | REDEX AUFTRAGSNR:            | 217488                    |
| ARTIKEL:       | KRPX3.M1.46.3.H.28/38 | SERIENNR:                    | 907698                    |
| ARTIKELNUMMER: | RX134339-13           | REFERENZ DES MOTORFLANSCHES: | RX128581-02               |

ANSCHLÜSSE & AUSSENABMESSUNGEN: SN: 907698



Für die Montage, folgen Sie bitte unserem Dokument "User Manual KRPX" (RX182/010)

BESONDERE ANMERKUNGEN:

General tolerance: Js13 *Cmm* Automatic / manual coordinate-measuring machine  $\mu\text{m}$  Micrometer *Cr* Calliper rule *Di* Dial indicator *Pg* Plug gauge

| GEHÄUSE  |    |         |  | GEHÄUSE    |         |         |           | MOTORFLANSCH   |  |                           |        |      |                                |   |               |       |
|----------|----|---------|--|------------|---------|---------|-----------|--|--|---------------------------|--------|------|--------------------------------|---|---------------|-------|
| Sollwert |    | Istwert |  | Sollwert   |         | Istwert |           | Sollwert   |  | Istwert                   |        |      |                                |   |               |       |
|          |    |         | F2501  |            | L1      | 75      | <i>Cr</i> | 75   |  |                           |        |      |                                |   |               |       |
|          | Y2 | M8x15   | <i>Pg</i>  | M8x15      |         | L2      | 70        | <i>Cr</i>  | 70   | ∅                         | B      | 115  | $\mu\text{m}$                  | 115   |               |       |
| ∅        | S2 | 200     | $\begin{smallmatrix} +0,1 \\ -0,1 \end{smallmatrix}$ | <i>Cr</i>  | 200     |         | J         | 160  | <i>Cr</i>  | 160                       | ∅      | C    | 35                             | $\begin{smallmatrix} +0,05 \\ +0,025 \end{smallmatrix}$ | $\mu\text{m}$ | 35,04 |
|          | A  | 389,5   | $\mu\text{m}$  | 389,59     |         | K       | 13        | <i>Cr</i>  | 13   |                           | D      | 8    | <i>Cr</i>                      | 8,47  |               |       |
|          | E  | 290     | <i>Cr</i>  | 290        | 2 x 4∅  | Y4      | M8x15     | <i>Pg</i>  | M8x15  | ∅                         | S1     | 200  | <i>Cr</i>                      | 200   |               |       |
|          | O  | 25      | <i>Cr</i>  | 25         |         | F1      | 50        | <i>Cr</i>  | 50   | ∅                         | Y1     | M12  | <i>Pg</i>                      | M12   |               |       |
|          | P1 | 35      | <i>Cr</i>  | 35         |         | F2      | 25        | <i>Cr</i>  | 25   | <b>Leerlaufdrehmoment</b> |        |      |                                |   |               |       |
|          | P2 | 35      | <i>Cr</i>  | 35         | 2 x 1∅  | Y7      | 12        | $\mu\text{m}$  | 12   | Linie 1                   |        | 1 Nm |                                |   |               |       |
|          | P3 | 35      | <i>Cr</i>  | 35         | 2 x 4∅  | Y6      | 17,5      | $\mu\text{m}$  | 17,5   |                           |        |      |                                |   |               |       |
|          | P4 | 35      | <i>Cr</i>  | 35         | 2 x 5∅  | Y5      | 26        | $\mu\text{m}$  | 26   |                           |        |      |                                |   |               |       |
|          | T  | 17      | <i>Cr</i>  | 17         |         | M H6    | 12        | $\begin{smallmatrix} +0,011 \\ 0 \end{smallmatrix}$  | <i>Cmm</i>   | 12,004                    |        |      |                                |   |               |       |
|          | U  | 32      | <i>Cr</i>  | 32         | $\perp$ | m       | 0,05      | <i>Cmm</i>   | 0,022  |                           |        |      |                                |   |               |       |
| 2 x 1∅   | Y3 | M8x15   | <i>Pg</i>  | M8x15      |         | N       | 71,5      | $\begin{smallmatrix} +0,1 \\ -0,1 \end{smallmatrix}$ | <i>Cmm</i>   | 71,486                    |        |      | Verdrehsteifigkeit (Nm/arcmin) | 1   | 473,03        |       |
|          | R  | 226     | $\begin{smallmatrix} +0,2 \\ +0,1 \end{smallmatrix}$ | <i>Cmm</i> | 226,141 | A       | W         | 135  | $\begin{smallmatrix} +0,035 \\ -0,035 \end{smallmatrix}$ | <i>Cmm</i>                | 135,02 |      |                                | Radiale Steifigkeit (N/ $\mu\text{m}$ )                 | 1             | 875   |
| $\odot$  | r  | 0,1     | <i>Cmm</i>   | 0,015      | //      | w       | 0,03      | /A   | <i>Cmm</i>   | 0,001                     |        |      |                                |   |               |       |

| ABTRIEBSRITZEL           |    |       |  | Geräuschpegel              |        |
|--------------------------|----|-------|--|----------------------------|--------|
|                          |    |       | F2653  | @1600 rpm Eintrieb (dB(A)) | 61,0   |
| Zahnweite (über 3 Zähne) |    |       |  |                            |        |
|                          | G1 | 39,25 | $\begin{smallmatrix} 0 \\ -0,03 \end{smallmatrix}$ | <i>Cmm</i>                 | 39,235 |
| $\nearrow$               | g1 | 0,022 |  | <i>Di</i>                  | 0,003  |

Datum: 27/06/2023 Von: C DE MIRANDA

Version: A